

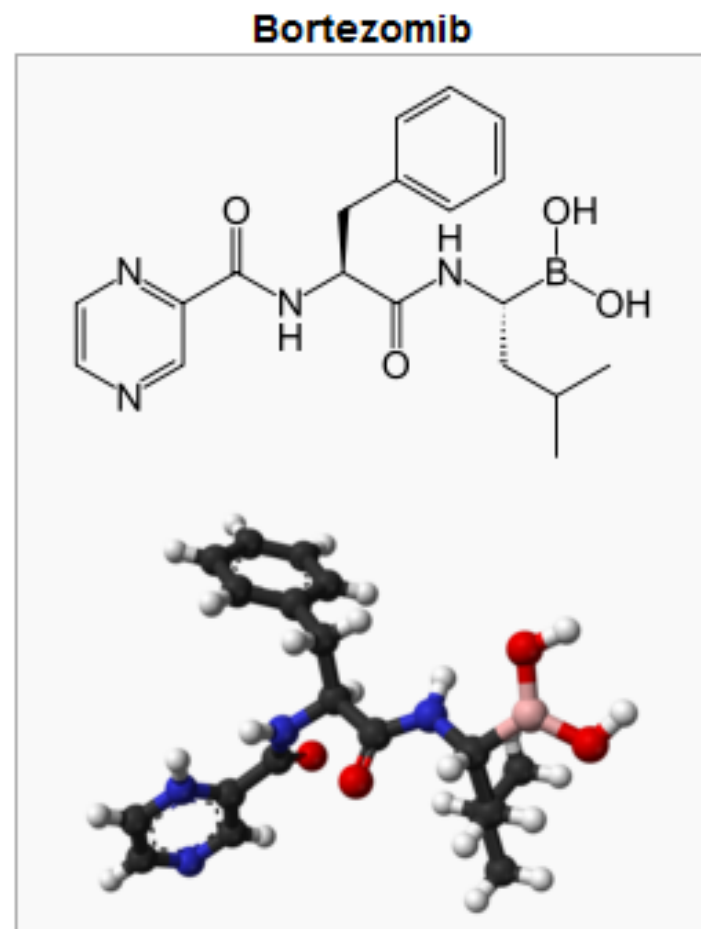
Vliv způsobu podání bortezomibu na účinnost a bezpečnost léčby pacientů s mnohočetným myelomem

MUDr. P. Pavlíček
FN KV a 3. LF UK Praha

*Tato prezentace vznikla
s finanční podporou společnosti
Johnson & Johnson, s.r.o. - div. Janssen*

Bortezomib

- **Proteazomový inhibitor**
působící cíleně na proteolýzu
ubiquitních proteinů proteazomu
- 1995 - PS 341
- 2003 - FDA
- 2012 - S.C.
- S.C.:
stejná látka, stejná dávka
jiná koncentrace
(1,0 mg/ml i.v. x 2,5 mg/ml s.c.)



THE LANCET Oncology

- Subcutaneous versus intravenous administration of bortezomib in patients with relapsed multiple myeloma: a randomised, phase 3, non-inferiority study

P. Moreau et al. 2011

- 53 léčebných center v Evropě, Asii a Jižní Americe, publikováno v květnovém vydání *Lancet Oncology*

P. Moreau et al. 2011

- 222 pacientů, randomizace 2:1 (s.c. : i.v.)
- 1,3 mg/m²; D 1, 4, 8, 11; cyklus 21 dnů
- Bez stat. významného rozdílu v ORR, TTP, 1Y OS
- Toxicita: u některých org. systémů až o 10% nižší u s.c.
- S.C. podání: lokálně dobře tolerováno

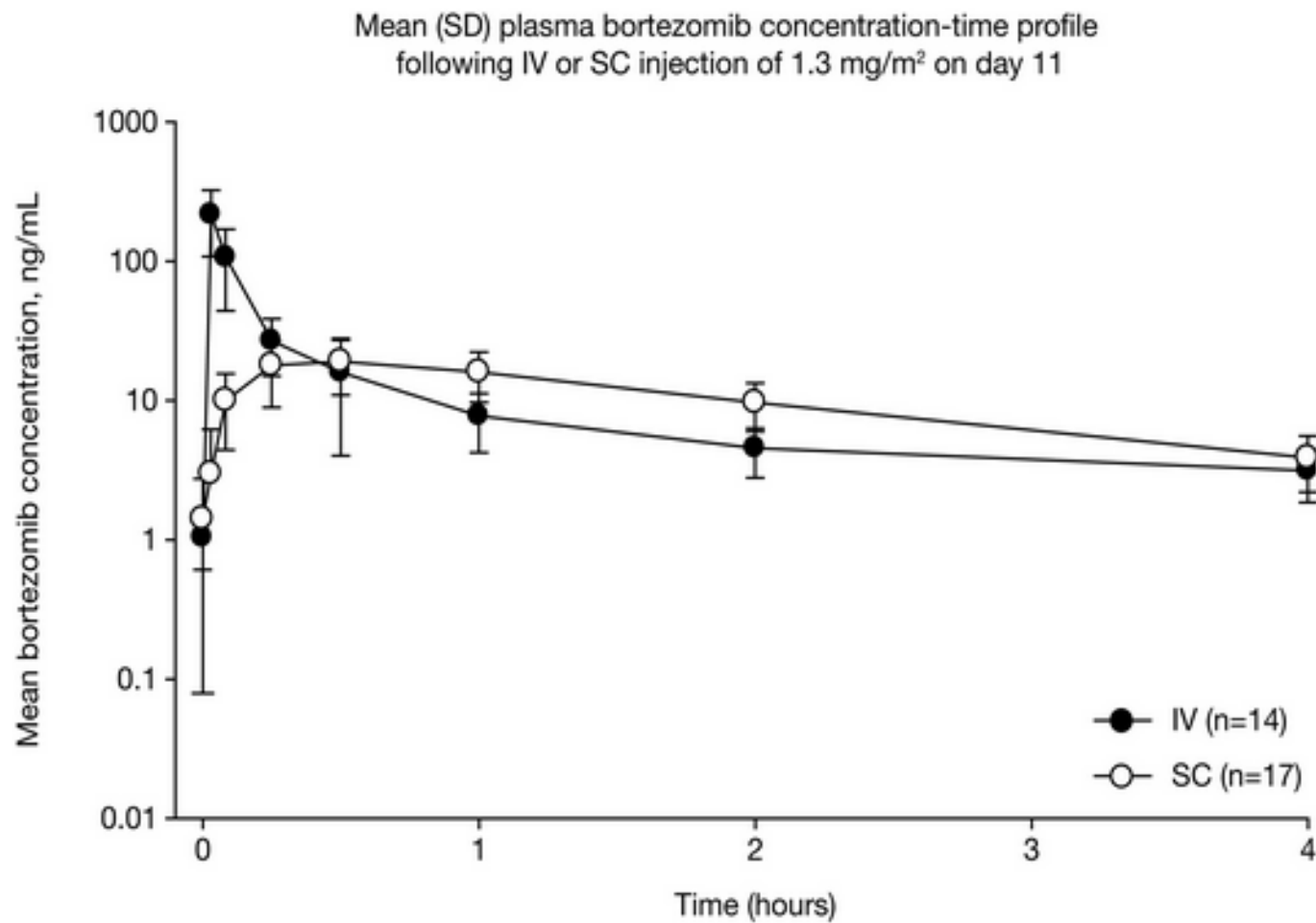
Polyneuropatie

P. Moreau et al. 2011

	S.C. (%)	I.V. (%)
Gr. 1-4	38	53
Gr. 2, 3, 4	24	41
Gr. 3, 4	6	16

Moreau et al. *Lancet Oncol* 2011; 12: 431–40

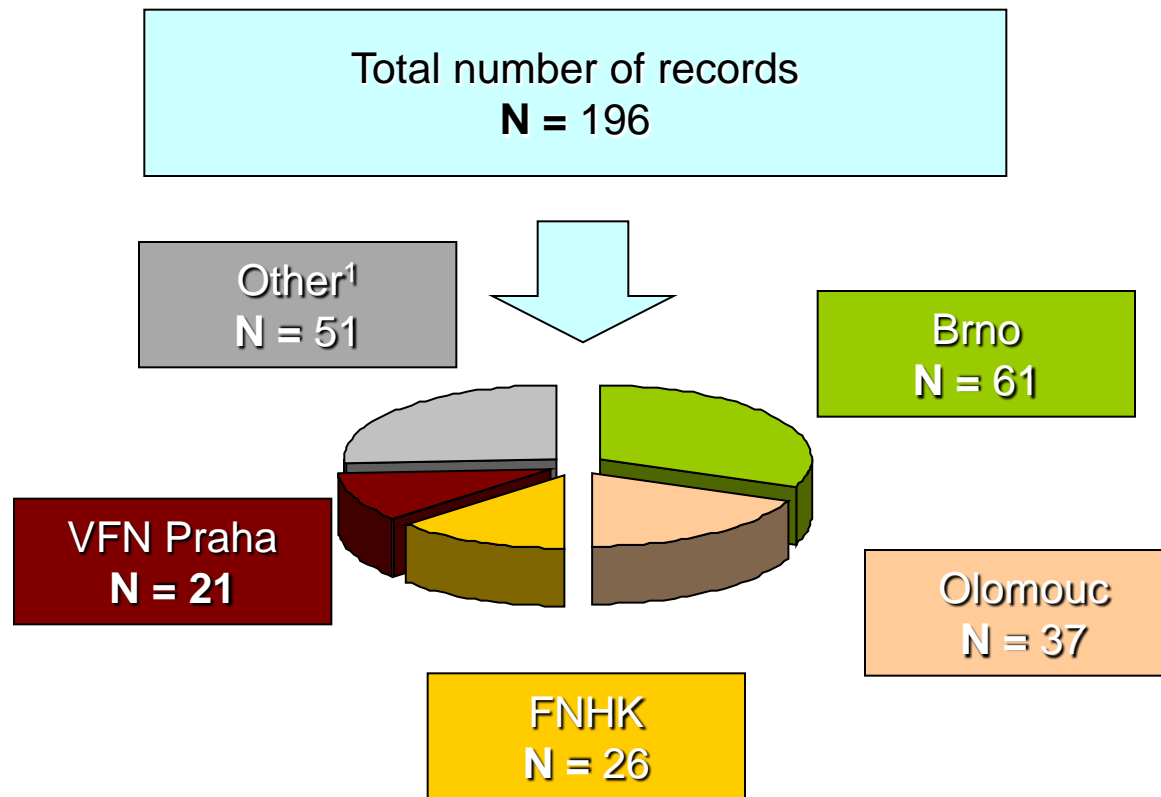
S.C. x I.V.



Velcade v ČR - 2013

- Celkový počet zahájených léčeb Velcade 363
- Způsob podání vyplněn 140
- S.C.: 109 (77.9%)
- I.V.: 19 (13.6%)
- I.V. ad S.C.: 11 (7.9%)
- S.C. ad I.V.: 1 (0.7%)

Centra ČR

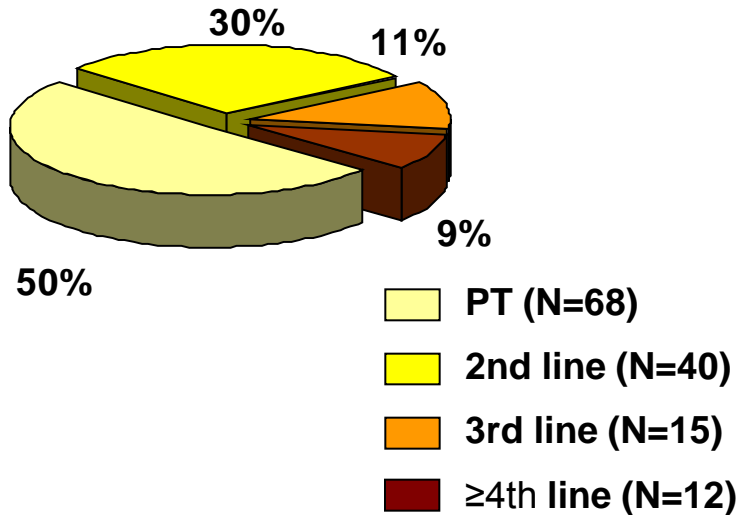


Centre	Total (N=196)	IV (N=135)	SC (N=61)
FN Brno - IHOK	61 (31.1%)	50 (37.0%)	11 (18.0%)
FN Olomouc - III. interní klinika	37 (18.9%)	25 (18.5%)	12 (19.7%)
FNHK - IV. interní hematologická klinika	26 (13.3%)	10 (7.4%)	16 (26.2%)
VFN Praha - I. Interní klinika	21 (10.7%)	16 (11.9%)	5 (8.2%)
Other ¹	51 (26.0%)	34 (25.2%)	17 (27.9%)

¹ Centres with less than 15 records

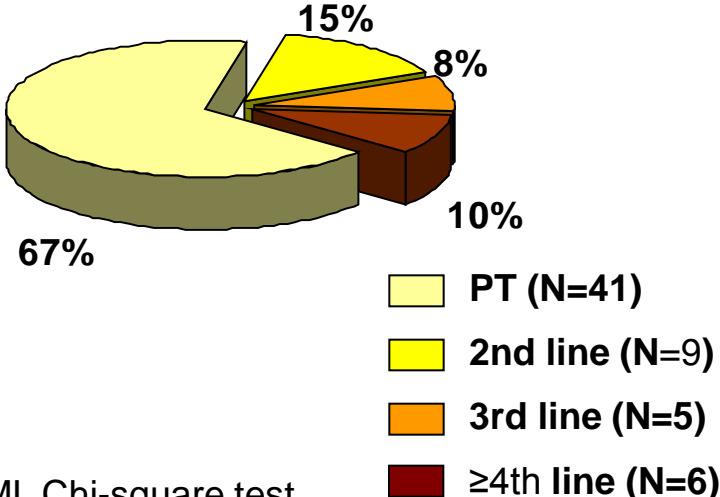
Počet léčebných linií

IV (N=135)



SC (N=61)

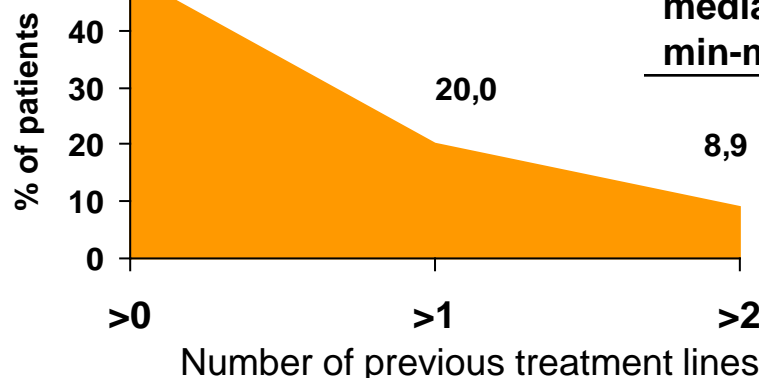
$p^1 = 0.087$



¹ ML Chi-square test

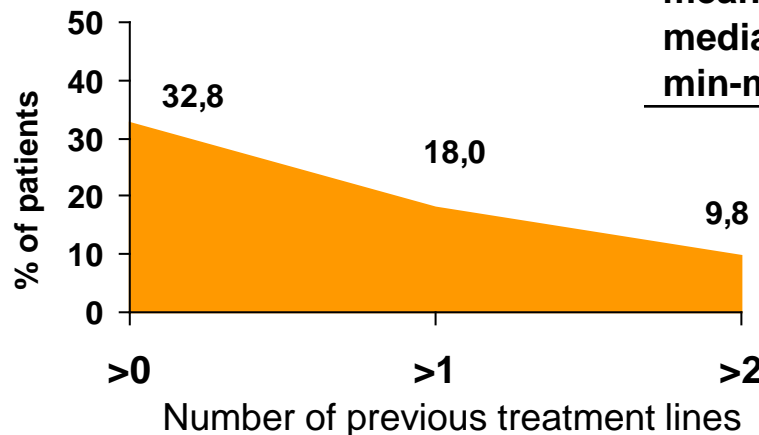
Number of previous treatment lines

N	135
mean (SD)	0.9 (1.2)
median	0
min-max	0.0-5.0



Number of previous treatment lines

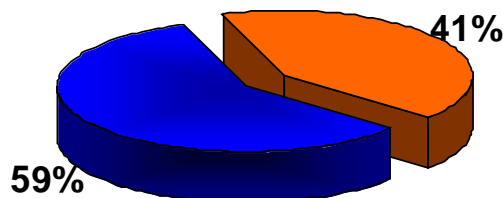
N	61
mean (SD)	0.7 (1.4)
median	0
min-max	0.0-7.0



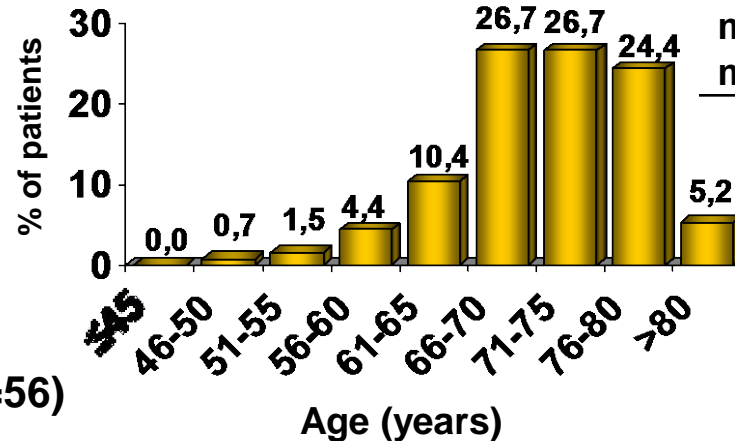
Pohlaví a věk

IV (N=135)

Sex



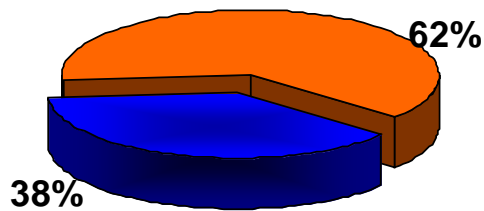
Age



N	135
mean (SD)	71.3 (6.8)
median	72
min-max	46.0-86.0

SC (N=61)

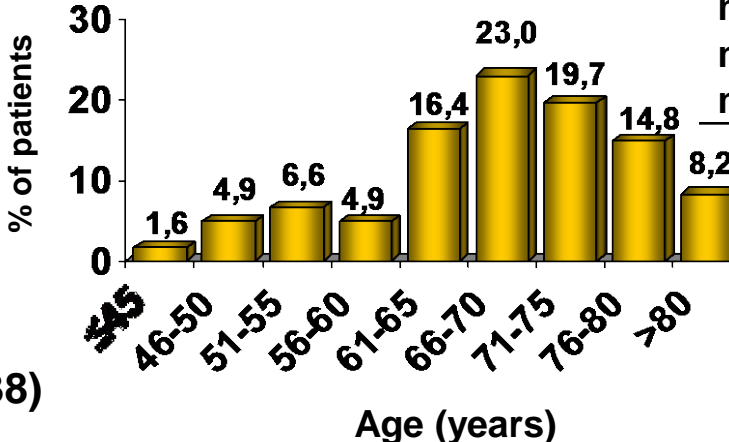
Sex



$p^1 = 0.007$

$p^2 = 0.024$

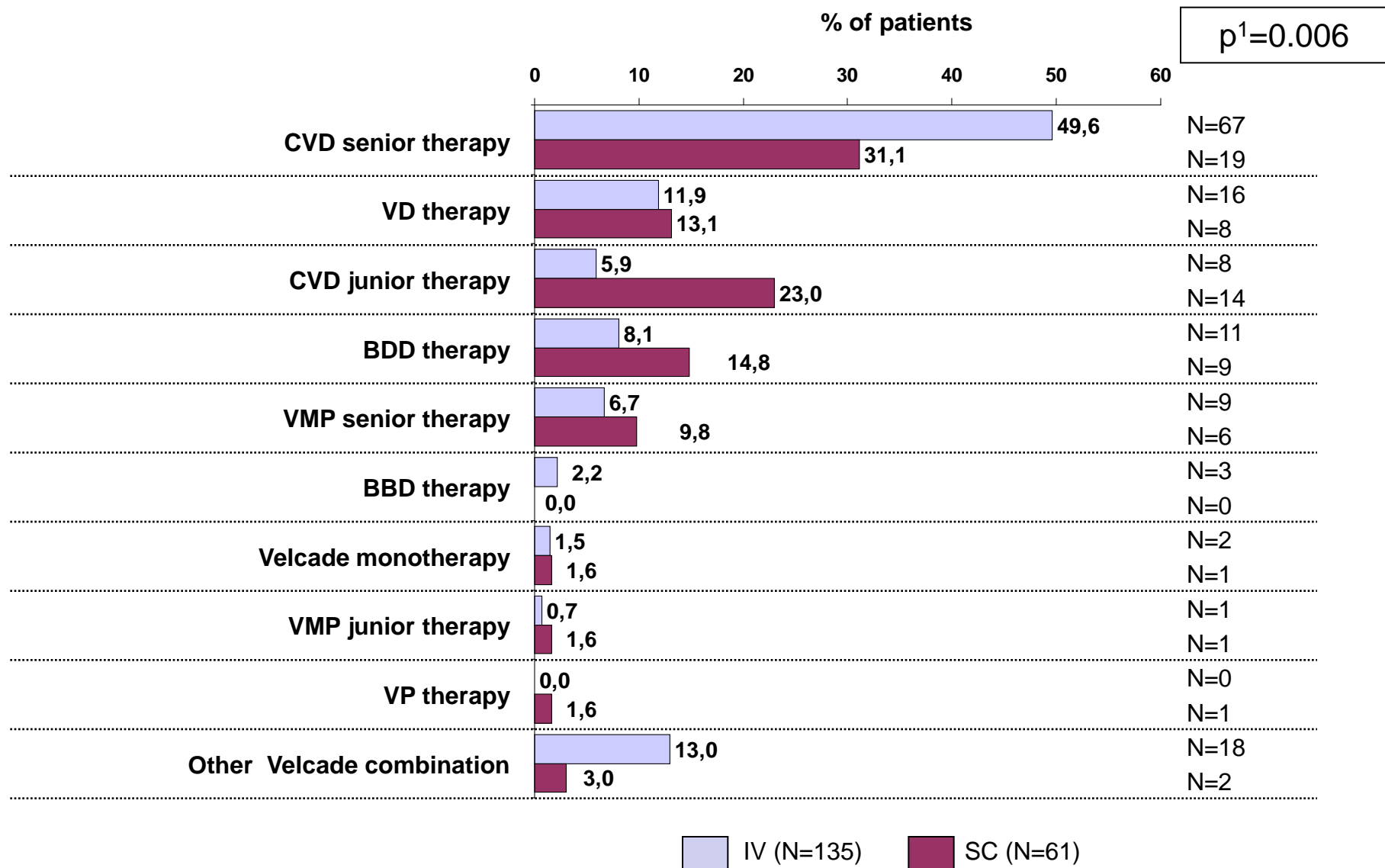
Age



N	61
mean (SD)	67.9 (9.5)
median	69
min-max	41.0-84.0

¹ ML Chi-square test, ² Mann-Whitney U test

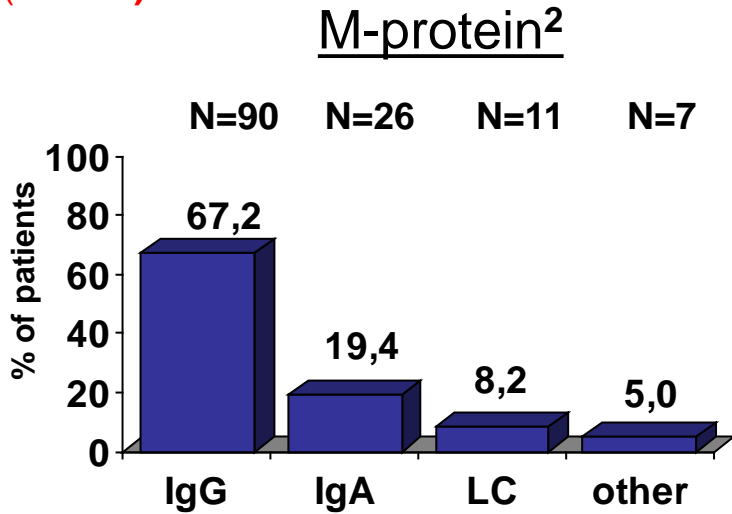
Léčebné režimy



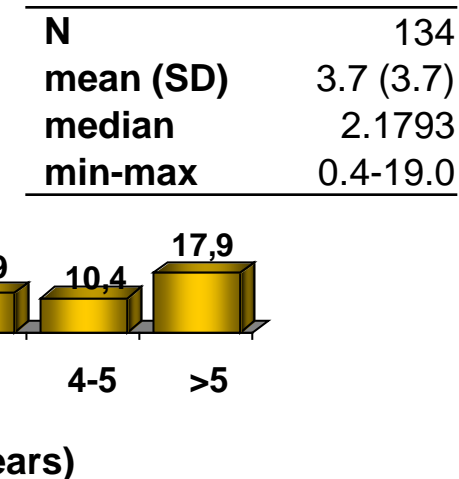
¹ ML Chi-square test, categories with count in total lower than 10 added to Other Velcade combination

M-protein typ a follow-up

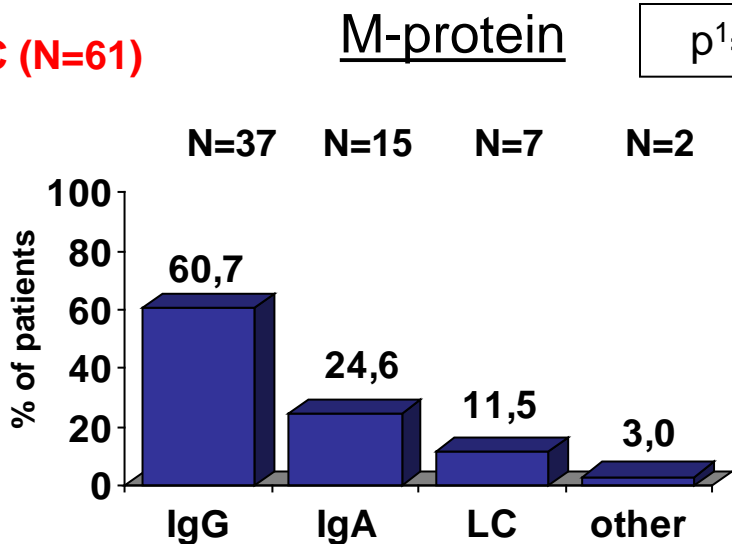
IV (N=135)



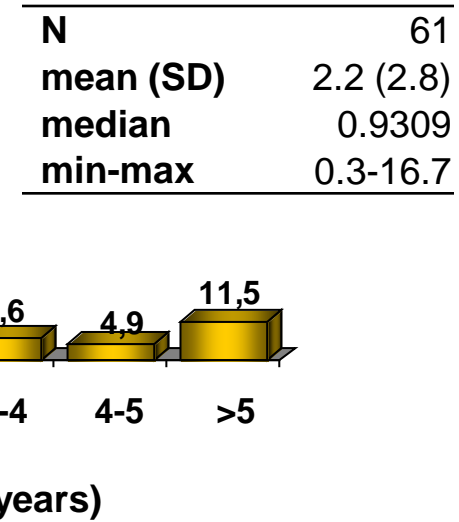
Follow-up²



SC (N=61)



Follow-up

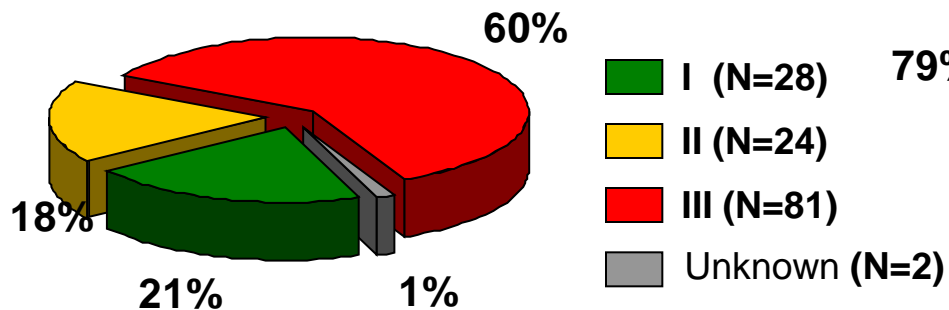


¹ ML Chi-square test, ² missing for 1 patient

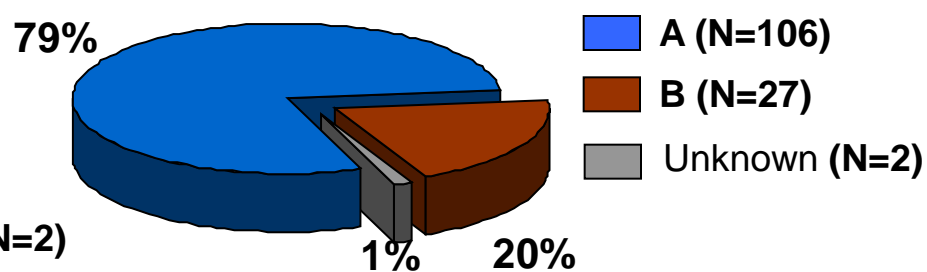
D-S stadium (při diagnóze)

IV (N=135)

D-S stage



A-B substage

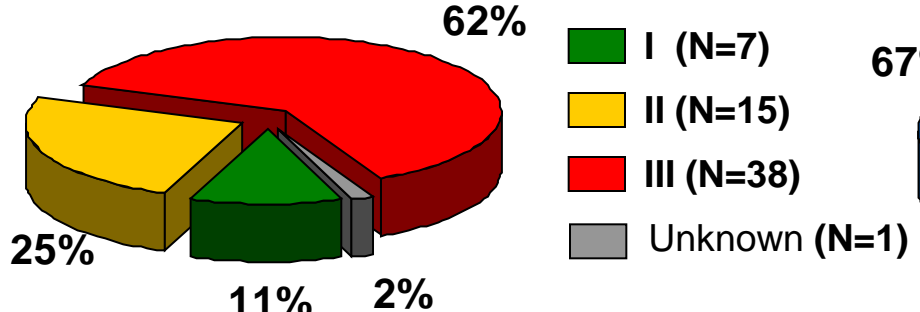


SC (N=61)

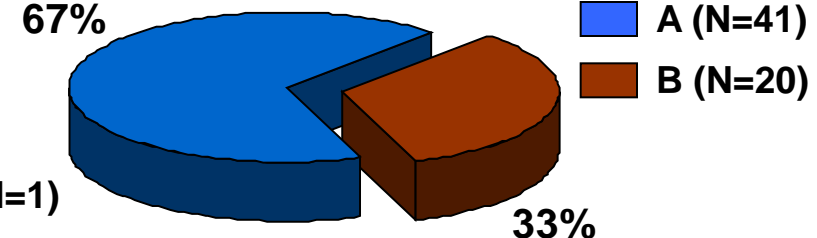
$p^1 = 0.205$

$p^1 = 0.064$

D-S stage



A-B substage

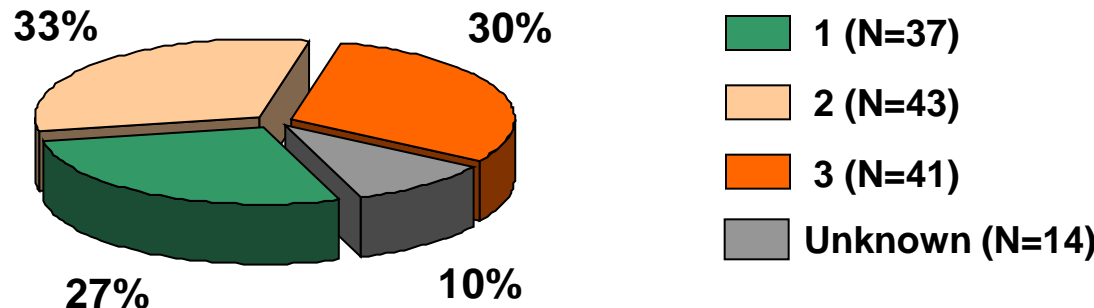


¹ ML Chi-square test

ISS stadium (při diagnóze)

IV (N=135)

ISS stage

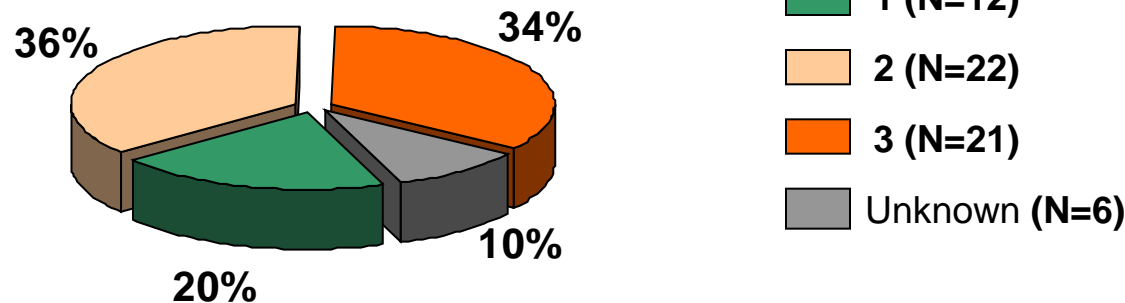


- 1 (N=37)
- 2 (N=43)
- 3 (N=41)
- Unknown (N=14)

$$p^1 = 0.476$$

SC (N=61)

ISS stage



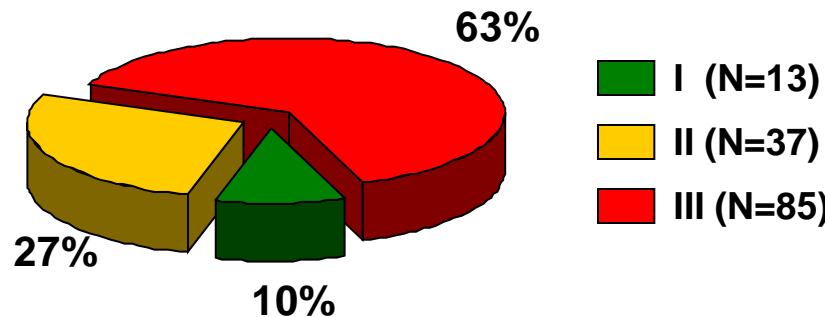
- 1 (N=12)
- 2 (N=22)
- 3 (N=21)
- Unknown (N=6)

¹ ML Chi-square test

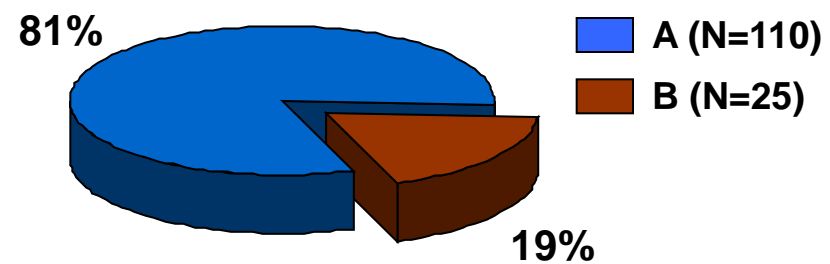
D-S stadium (při zahájení léčby)

IV (N=135)

D-S stage



A-B substage

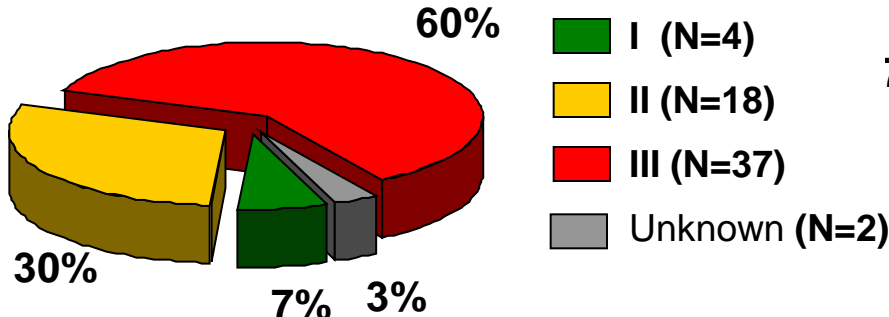


SC (N=61)

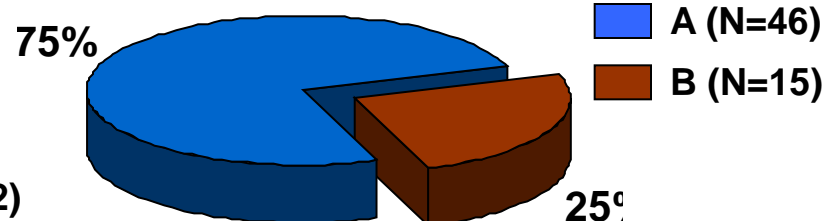
$$p^1 = 0.764$$

$$p^1 = 0.335$$

D-S stage



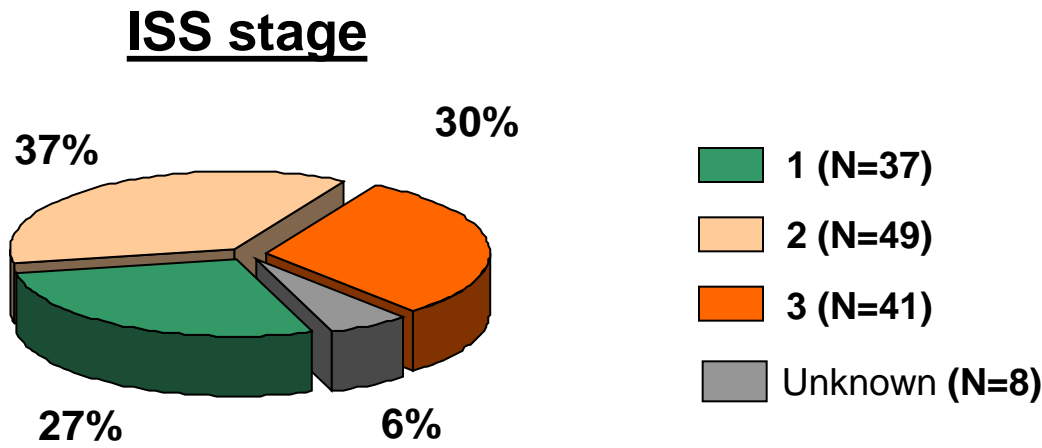
A-B substage



¹ ML Chi-square test

ISS stadium (při zahájení léčby)

IV (N=135)



1 (N=37)

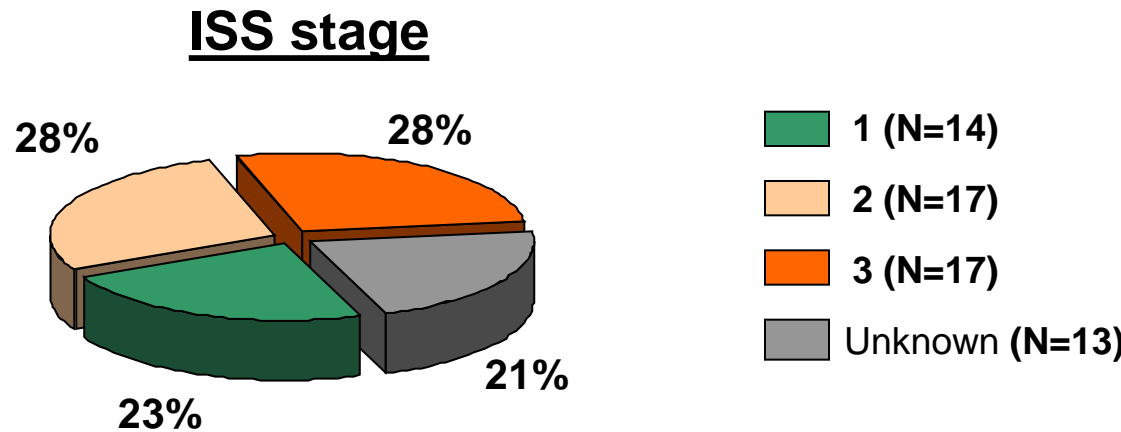
2 (N=49)

3 (N=41)

Unknown (N=8)

$p^1 = 0.907$

SC (N=61)



1 (N=14)

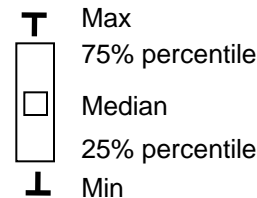
2 (N=17)

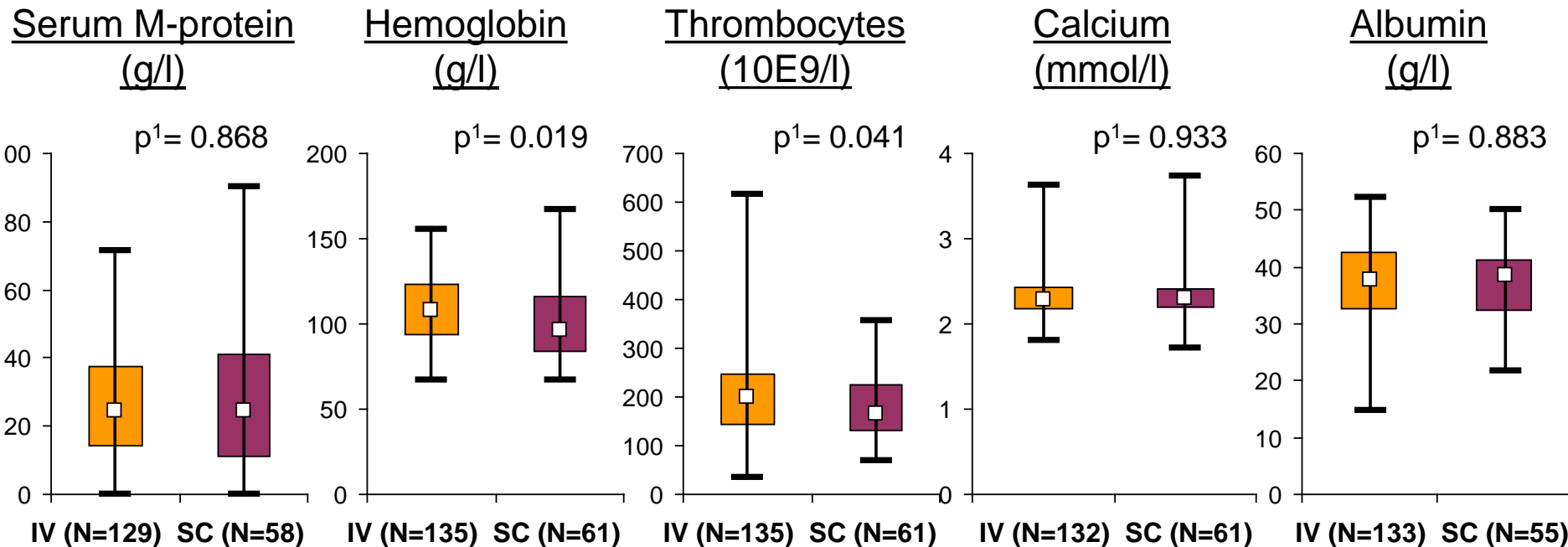
3 (N=17)

Unknown (N=13)

¹ ML Chi-square test

Před léčbou I

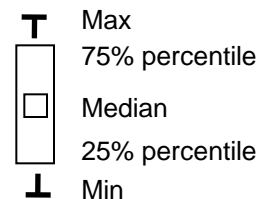

 Max
 75% percentile
 Median
 25% percentile
 Min

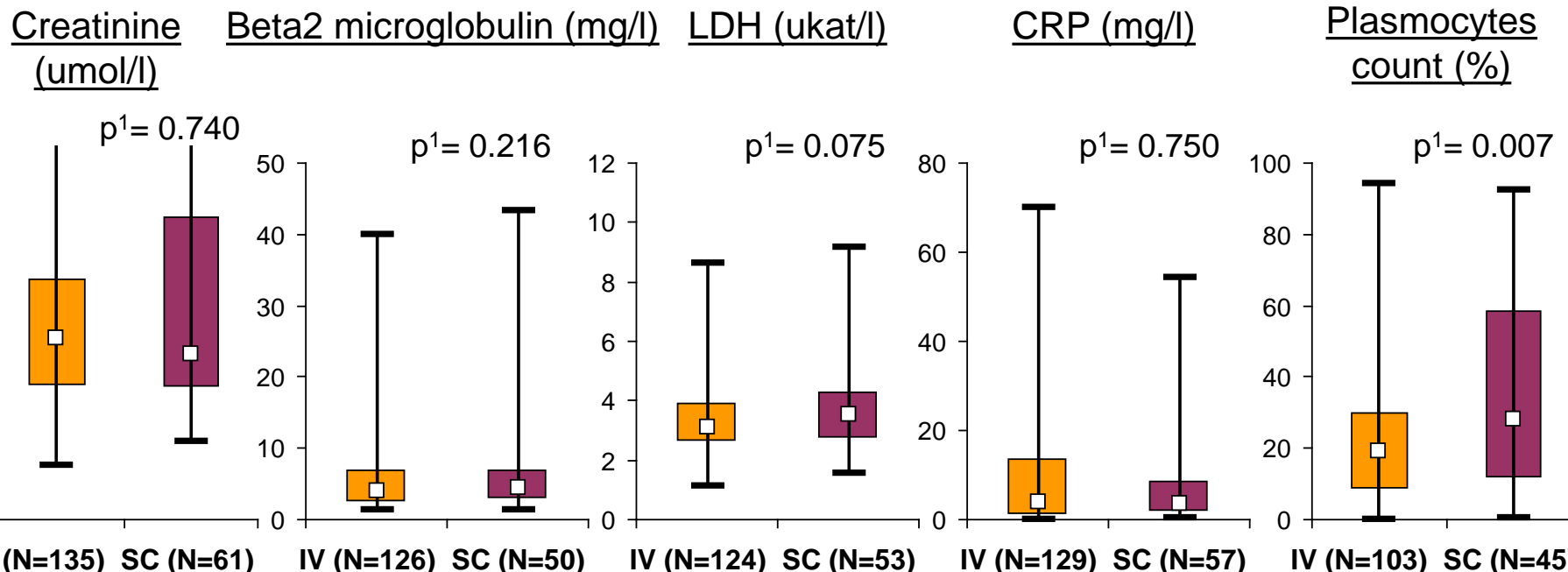


	Serum M-protein		Hemoglobin		Thrombocytes		Calcium		Albumin	
	IV	SC	IV	SC	IV	SC	IV	SC	IV	SC
N	129	58	135	61	135	61	132	61	133	55
mean (SD)	26.4 (17.0)	27.5 (20.0)	108.8 (20.1)	102.1 (23.0)	198.7 (80.5)	175.4 (65.0)	2.3 (0.2)	2.3 (0.3)	37.0 (7.1)	37.1 (6.2)
median	24.7	24.4	108.0	96.2	199.0	166.0	2.3	2.3	37.9	38.6
min-max	0.0-71.6	0.0-90.4	67.0-155.0	67.0-167.0	35.7-615.0	70.0-355.0	1.8-3.6	1.7-3.7	14.6-52.1	21.7-50.0

¹ Mann-Whitney U test

Před léčbou II


 Max
 75% percentile
 Median
 25% percentile
 Min

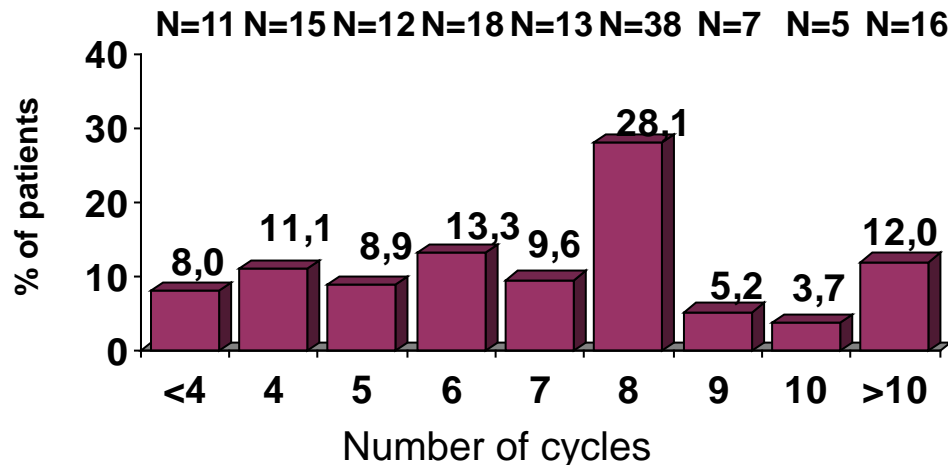


	Creatinine		Beta2 microglobulin		LDH		CRP		Plasmocytes count	
	IV	SC	IV	SC	IV	SC	IV	SC	IV	SC
N	135	61	126	50	124	53	129	57	103	45
mean (SD)	143.0 (131.0)	215.9 (291.8)	6.2 (6.2)	8.0 (9.6)	3.4 (1.2)	3.8 (1.5)	9.9 (14.0)	6.8 (9.0)	22.7 (19.2)	34.8 (25.9)
median	102.0	93.0	3.9	4.5	3.1	3.6	4.0	3.7	19.2	28.0
min-max	30.0-831.0	44.0-1666.0	1.4-40.0	1.4-43.4	1.1-8.6	1.6-9.2	0.0-69.9	0.2-54.3	0.0-94.2	0.6-92.4

¹ Mann-Whitney U test

Počet léčebných cyklů

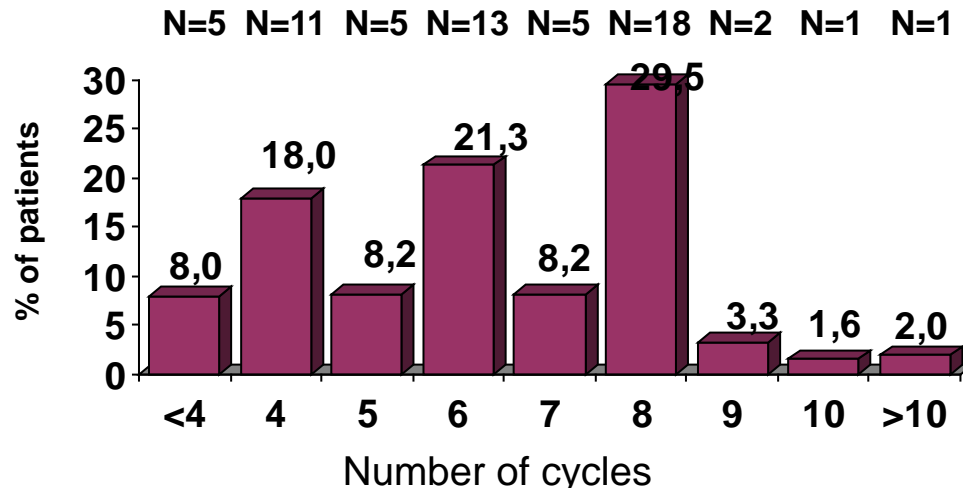
IV (N=135)



N	135
mean (SD)	7.0 (2.8)
median	7
min-max	0.0-13.0

p¹= 0.039

SC (N=61)



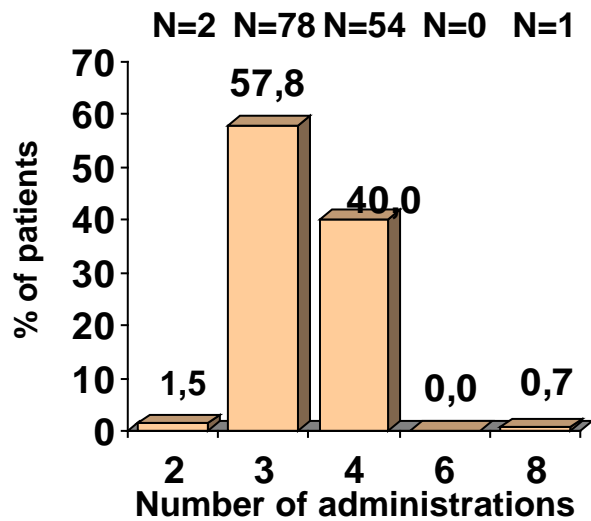
N	61
mean (SD)	6.2 (2.1)
median	6
min-max	1.0-11.0

¹ Mann-Whitney U test

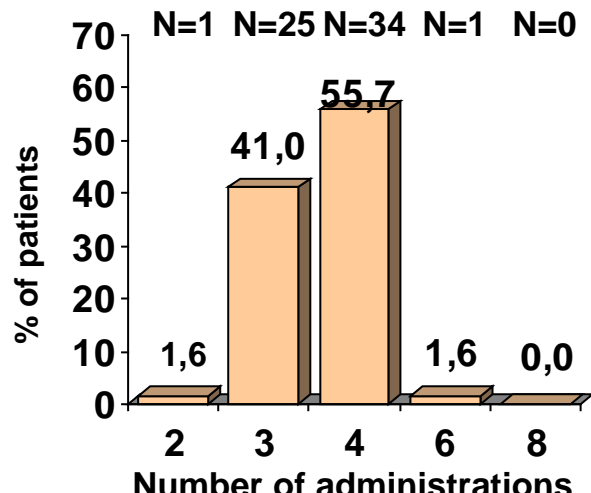
Počet aplikací v cyklu

IV (N=135)

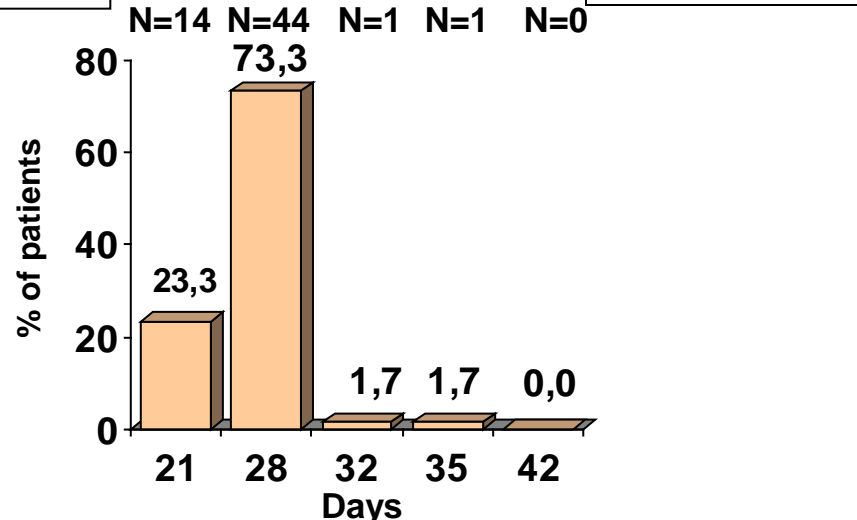
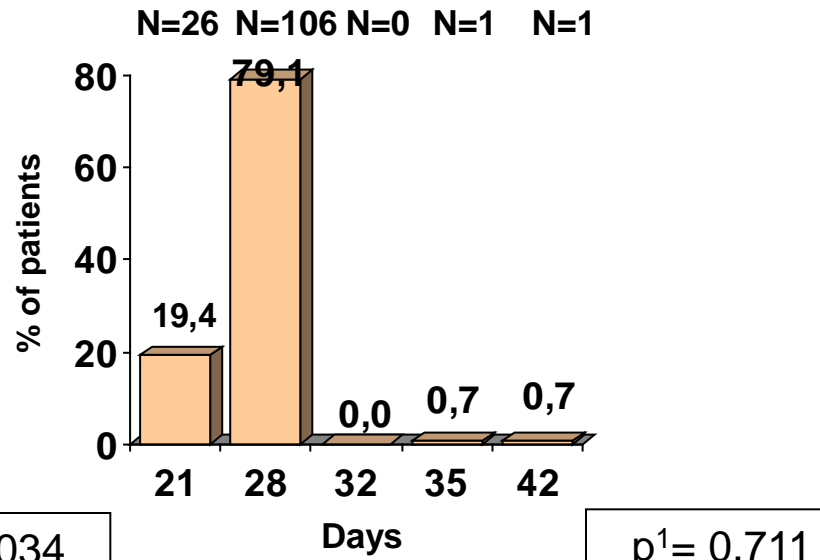
Počet aplikací v cyklu



SC (N=61)



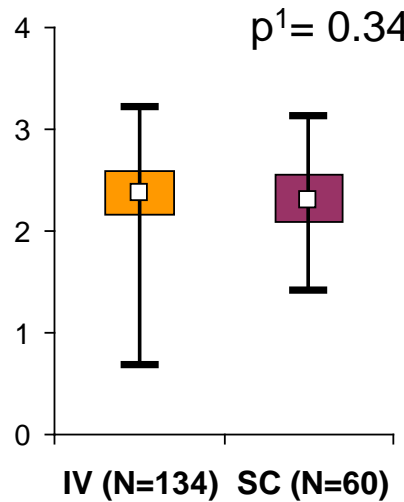
Délka cyklu



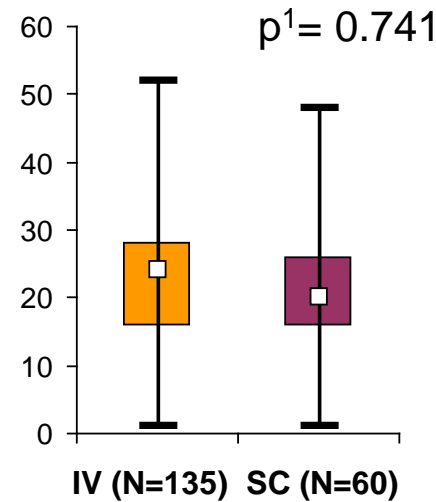
¹ Mann-Whitney U test, ² missing for 2 patients

Charakteristika léčby

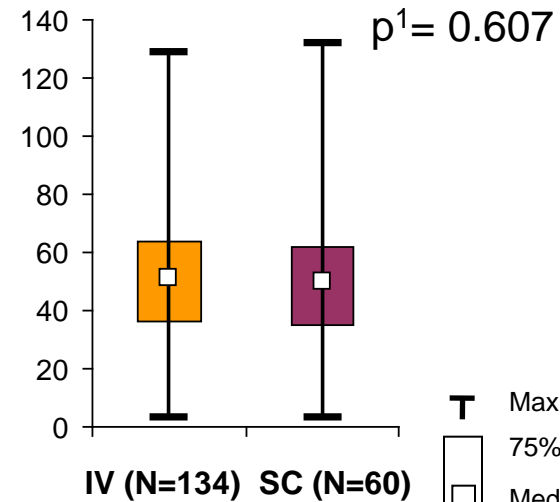
Mean dose of drug for one administration



Total number of administrations



Total cumulative dose (mg)



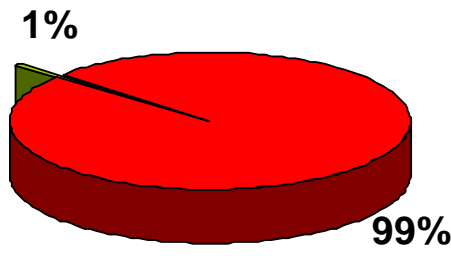
Max
75% percentile
Median
25% percentile
Min

	Mean dose of drug for one administration		Total number of administrations		Total cumulative dose (mg)	
	IV	SC	IV	SC	IV	SC
N	134	60	135	60	134	60
mean (SD)	2.4 (0.4)	2.3 (0.3)	22.0 (9.4)	22.2 (10.3)	51.5 (23.8)	50.5 (23.7)
median	2.4	2.3	24	20	51	50
min-max	0.7-3.2	1.4-3.1	1.0-52.0	1.0-48.0	3.0-129.0	3.0-132.0

¹ Mann-Whitney U test

Toxicita

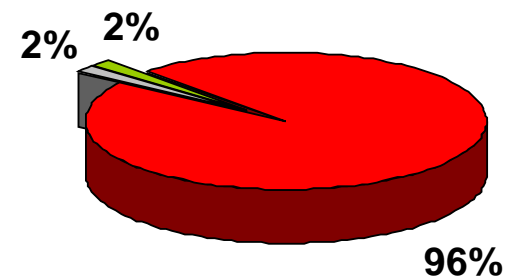
IV (N=135)



$$p^1 = 0.569$$

- No (N=1)
- Yes (N=134)
- NA (N=0)

SC (N=61)



- No (N=1)
- Yes (N=59)
- NA (N=1)

¹ ML Chi-square test

Toxicita (bez TX)

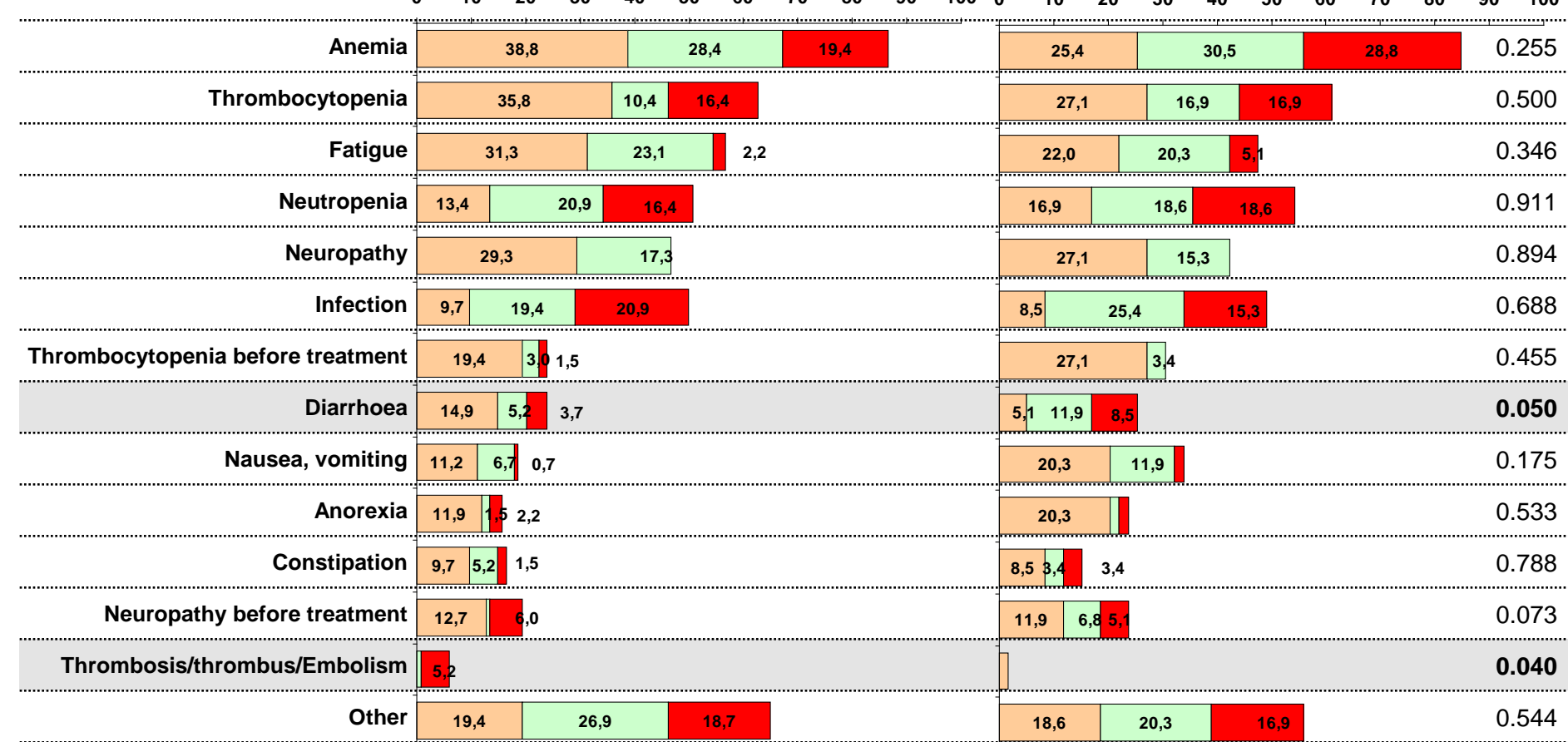
IV (N=134)

SC (N=59)

% of patients

% of patients

p¹



Grade 1

Grade 2

Grade 3-5

¹ ML Chi-square test

Toxicita (s TX)

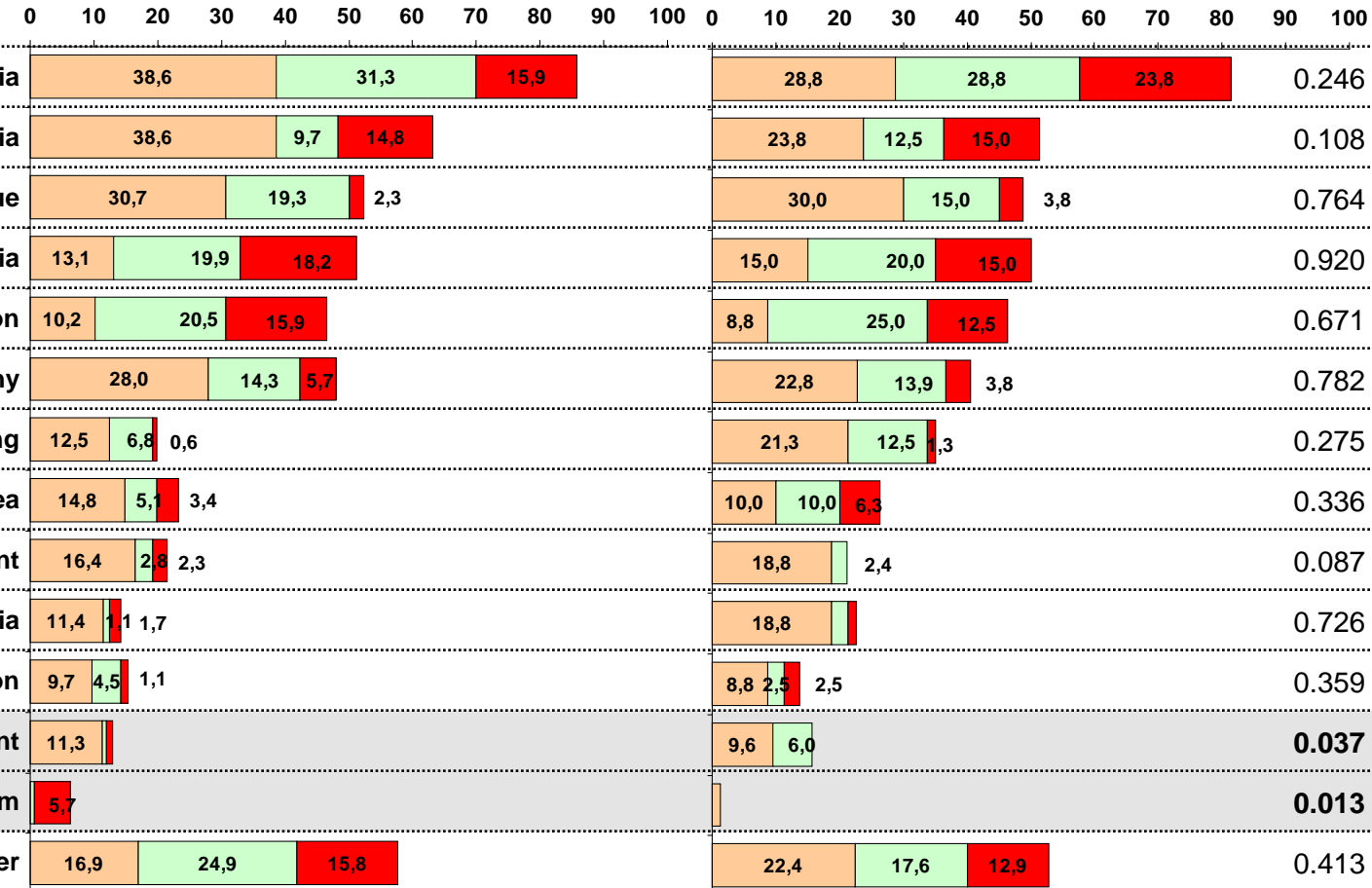
IV (N=174)

SC (N=78)

% of patients

% of patients

p¹



Grade 1

Grade 2

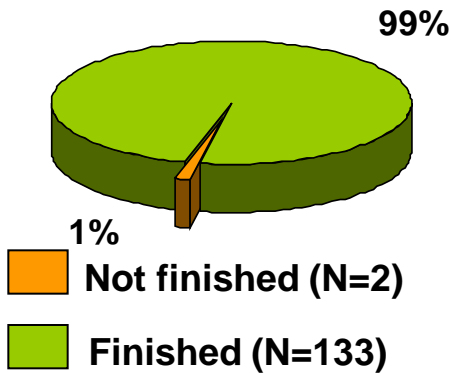
Grade 3-5

¹ ML Chi-square test

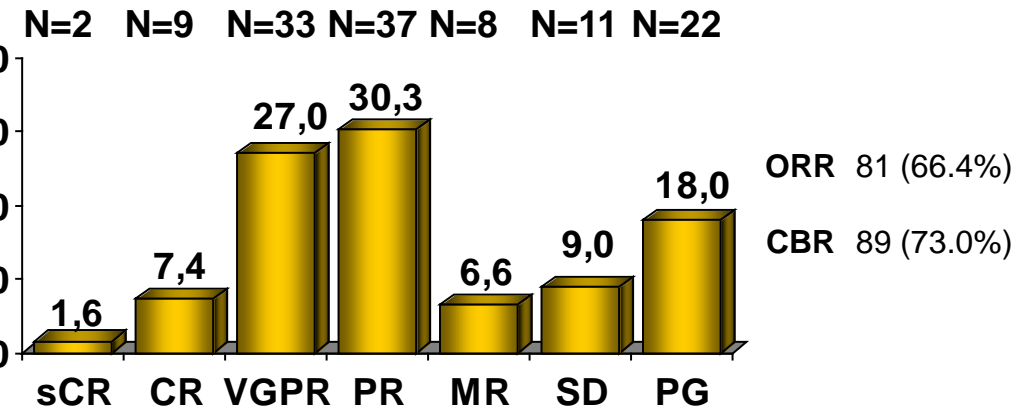
Výsledná léčebná odpověď¹ (bez TX)

IV (N=135)

Treatment

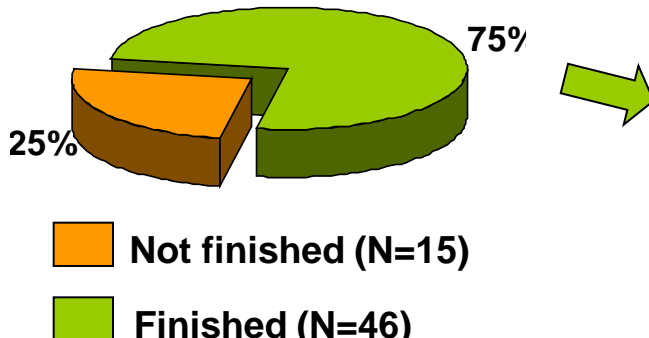


Treatment response²

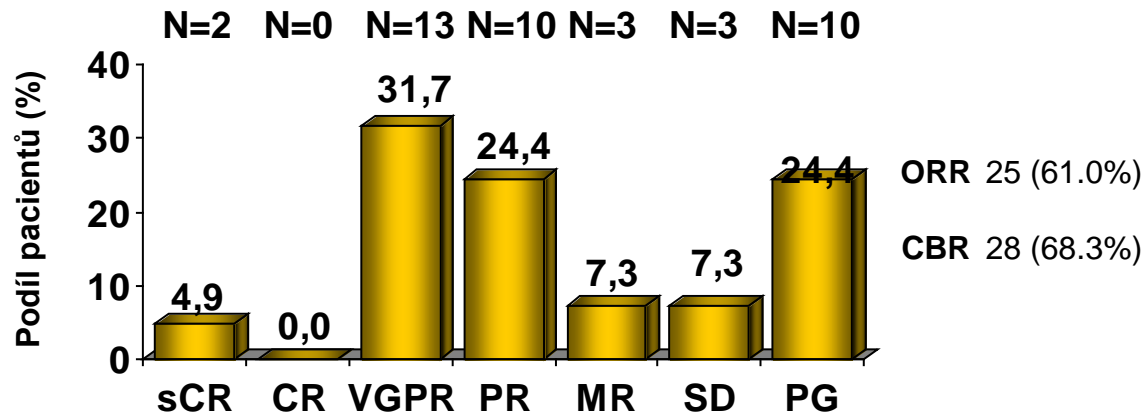


SC (N=61)

Treatment



Treatment response³



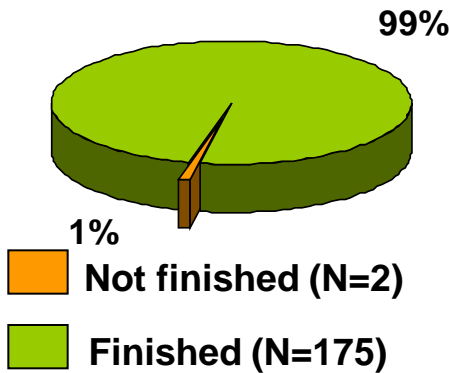
ORR = treatment response PR and better
CBR = treatment response MR and better

¹ ML Chi-square test, ² Missing for 11 patients, ³ Missing for 5 patients

Výsledná léčebná odpověď¹ (s TX)

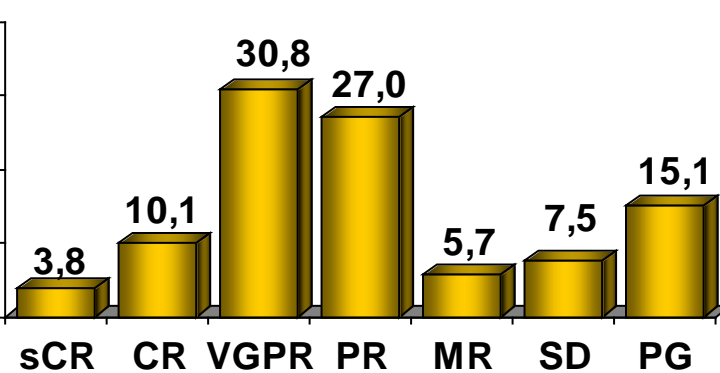
IV (N=177)

Treatment



Treatment response²

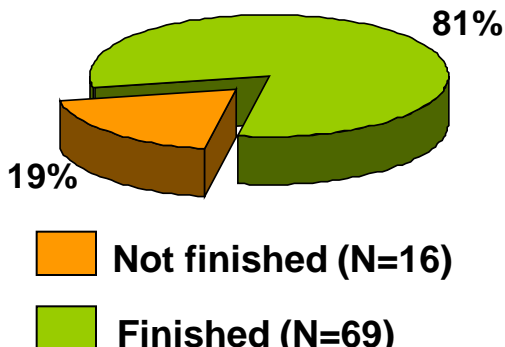
N=6 N=16 N=49 N=43 N=9 N=12 N=24



ORR 114 (71.7%)
CBR 123 (77.4%)

SC (N=85)

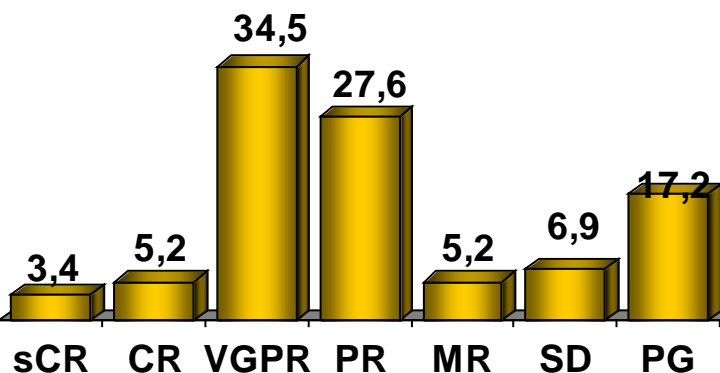
Treatment



Treatment response³

p¹= 0.949

N=2 N=3 N=20 N=16 N=3 N=4 N=10



ORR 41 (70.7%)
CBR 44 (75.9%)

ORR= treatment response PR and better
CBR= treatment response MR and better

¹ ML Chi-square test, ² Missing for 16 patients, ³ Missing for 11 patients

Závěr: S.C. x I.V.

S.C. výhody

- Komfort pacienta
- Komfort personálu
- Méně nežádoucích účinků, zejm. NP (P. Moreau et al. 2011)

S.C. nejistoty

- Nezralá data? (1, 4, 8, 11 á 21D)
- Konstantní s.c. dostupnost?
- Lok. snášenlivost?

Závěr: S.C. x I.V.

- Základní charakteristiky účinnosti terapie bortezomibem jsou nezávislé na použití aplikační cesty (i.v. x s.c.)
- Četnost NÚ v případě s.c. aplikace je nižší

A misty landscape featuring rolling green hills. In the background, a dense forest of coniferous trees covers a ridge. The foreground is dominated by several bare, leafless trees standing in a field. The overall atmosphere is hazy and dimly lit.

Děkuji za pozornost !